

九州工業大学 正員 加藤 九州男
 " 正員 久保 喜延
 " 学生員 桜井 勝好
 " 学生員 邑本 興正

1. まえがき-----筆者らはトレス補剛吊橋において、上部側トレス上弦材からのはく離発ガトレス吊構造の自動振動特性に特に重要な影響を与えることに着目して、実験的に最適部材配置を求める研究を進めている。本研究においては、主構上弦材と床版との相対的位置と応答および床版の定常圧力分布との関係に着目して、トレス補剛吊橋の耐風性の検討を試みたものである。

2. 実験概要---実験における諸条件については、文献1)~3)に述べているので省略し、今回行った実験ケースについてのみ述べる。使用した模型は本州四国連絡橋の一設計案として出されている断面の1/100の縮尺の2次元部分模型(Fig.1)であり、部材配置による耐風性を検討するために、主構間隔Wと床版高さhを変化できるよう製作されている。床版部分は原型模型の床版とは同一サイズであるが、高欄・地覆を取り付けず、また、圧力測定のピニール管が露出することにより、気流が乱されるのを防ぐために、ピニール管をおおう箱型断面としている。圧力測定には、Scanivalve 製(Model-D型、容量0.2Pa)の多点差動圧力変換器を使用し、模型床版に設けた16点の内径1mmの圧力孔から圧力変換器までを長さ約90cmのピニールチューブ(Φ2mm)で接続し、各測定点と基準点との差圧を測定することにより行われた。基準圧は風路内に設置したピートー管の静圧とした。実験は主構間隔W=26, 28, 30, 32, 34cmで、床版高h=0mmの時迎角d=-6°へ+10°まで2°ごとに変化させ、風速V=3, 6, 9m/sについて測定された。各圧力孔の測定圧力P_tは次のように無次元化した。 $C_p = (P_t - P_s) / (P_0 - P_s)$ ただし、P_s, P₀はピートー管の静圧と動圧である。圧力のデータはMicro Computer(SORD M1200 Mark II)で処理した。平均・RMSE値の解析はサンプリング間隔5msデータ数800個である。

3. 実験結果と考察---Fig.2はBTM-TYPEの床版高h=0mmについて、迎角d=3°の時、主構間隔W=26, 28, 30, 32, 34の順に、庇管は高風速側に並んでいる。この中では、空力的に最も安定な断面は、BTM-30-D₀となる。Fig.3~5は風速V=9.0m/s、迎角d=0°, 4°, -4°の場合において、主構間隔Wを変化させた時の定常圧力分布を示した図である。横軸に上部方向より測定

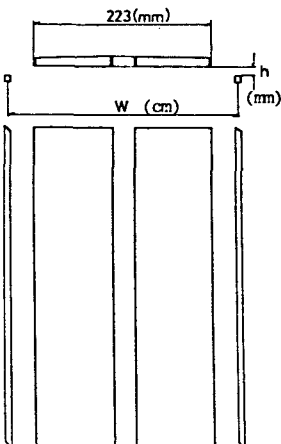


Fig.1 Cross-section of Modified Model

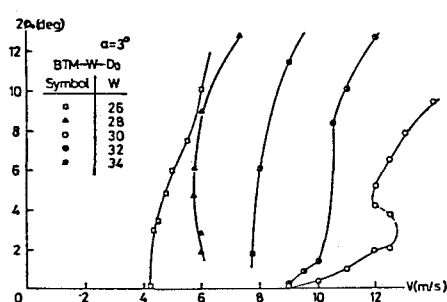


Fig.2 Aerodynamic Responses of Model

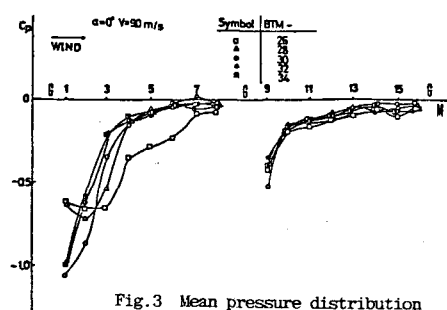


Fig.3 Mean pressure distribution in steady state

番号を付け、縦軸に無次元定常圧力係数 C_p を示している。今回の実験によって得られた床版表面に作用する定常圧力分布は、迎角より 0° の時 Δy のパターン、迎角より 0° の時 Δy のパターンに分布しており、その傾向は一般的に次のようになる。主構の前線から発生したはく離によって床版表面は負圧になり、測定された範囲では測点1あるいは2が最も負圧が大きく、それらの点から $\Delta y - 4$ が存在する床版中央部まで下流になると程負圧が減少する。中央の $\Delta y - 4$ から後流になると再び負圧が大きくなり下流になると程減少する。

定常圧力分布は主構間隔 $W = 2b$ cmの場合が他のケースと著しく異っている。このことにより、主構上弦材と床版との相対的位置関係によって耐風特性がかなり異なることが表面圧力分布からも推察できる。Fig.8～10は風速 $V = 9$ m/s、迎角 $\alpha = 0^\circ, 4^\circ, 4^\circ$ の場合における主構間隔 W を変化させた時の定常測定圧の変動成分のR.M.S.値の分布を示す図である。これは、主構間隔 W が狭い $W = 26, 28$ cmにおいてR.M.S.値が大きく変動しまた他の主構間隔のケースにおいて、測点9の再付着点あたりのR.M.S.値が大きな値となるのは、後流の影響もフラッタ特性に作用する1つの要因であることを示している。またBTM-26-Dのグラフの雁管では、誘動振の発現が観られたが、このR.M.S.値の変動が大きいことの対応はその現象を説明し得るものだと考えられる。

4. まとめ——以上の結果を簡単にまとめると以下述べることになる。

1. 主構間隔および床版の高さにより耐風性状は大きく変化し、最適部材配置が存在することを示している。
2. 本実験において回答および定常圧力分布の測定からもわかる通り、部材間の距離がフラッタ現象に大きく関与していることが判明した。

3. 今後の課題として、登振風速と部材配置との関係を定量的に把握するためには、非定常空気力と断面形状を検討し、吊橋部材に発生するフラッタ特性に支配的なるパラメータについてのより詳細な検討が必要であると思われる。

参考文献

- 1) 久保・加藤他： 第5回耐風性シンポジウム論文集 1978. 12
- 2) 久保・加藤・宮田： 土木学会 34回講演概要集 1979. 10
- 3) 加藤・久保・橋井： 土木学会 35回講演概要集 1980. 10

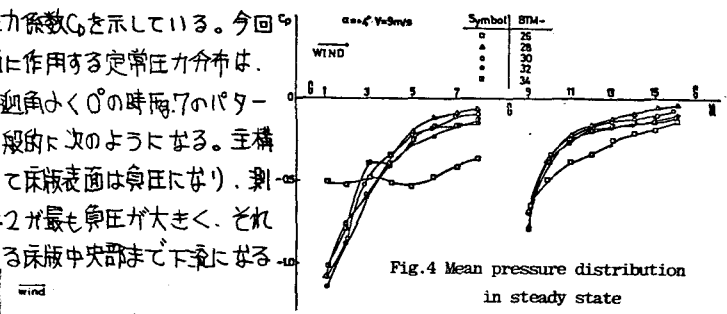


Fig. 4 Mean pressure distribution in steady state

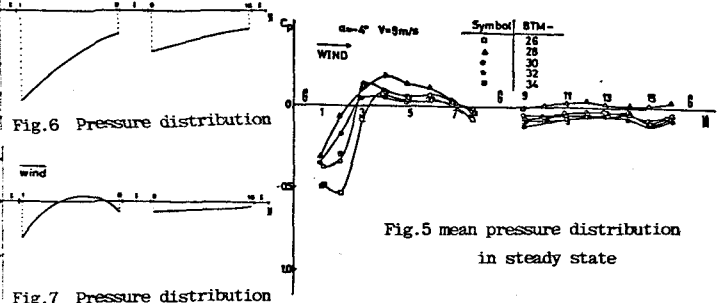


Fig. 5 mean pressure distribution in steady state

Fig. 7 Pressure distribution

Fig. 8 R.M.S. value of measured pressure

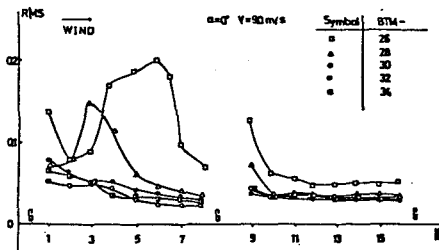


Fig. 8 R.M.S. value of measured pressure

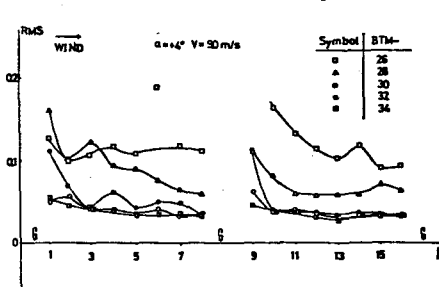


Fig. 9 R.M.S. value of measured pressure

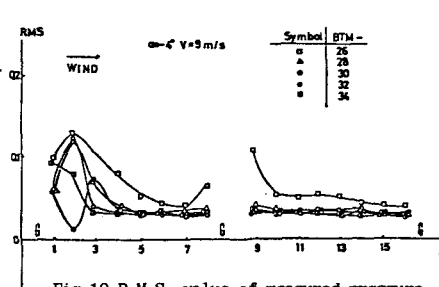


Fig. 10 R.M.S. value of measured pressure